

Программируемый фантомный эффект

С.Кернбах, О.Кернбах

Аннотация—В этой работе описываются несколько экспериментов по так называемому 'программируемому фантомному эффекту' или 'эффекту функционального фантома'. Проводится небольшой обзор предыдущих работ в этой области, демонстрируется реакция 'эффекта последствия' на внешние раздражители, детектируемая с помощью μRN приборов, высокочастотного кондуктометрического датчика и фитосенсора. Показана возможность задания простейших программ для локальных фантомов, связанных с периодическими включениями или с реакцией на внешние события. Рассматривается пример методики для создания и программирования нелокальных фантомов. В заключении обсуждаются дальнейшие применения этой технологии для создания гибридных фантомно-приборных комплексов и ограничения, связанные с операторной коммуникацией с фантомами.

I. ВВЕДЕНИЕ

Исследования в области экспериментальной (или приборной) психотроники, например [1], показали на настоящий момент следующее интересное явление: некоторые эзотерические концепции в какой-то мере подтвердились экспериментальным путем [2]. Другие же, напротив, оказались несостоятельными. Примерами приборно подтвержденных явлений являются эксперименты с нелокальной связью по фотографическому отображению [3], возможность переноса информационного действия – например, дистанционное стимулирование или наоборот ингибирование растений [4], приборно обнаруженные эффекты последствия и др., см. обзоры в [5], [6], [7].

Эффекты последствия, именуемые иногда как 'фантомы', проявляются как некая функциональная инерционность эксперимента, например потеря чувствительности, появление шума, появление странных пиков и всплесков на графиках, получение показаний сенсоров после отключения излучателей – которые накапливаются с течением времени. Интересной особенностью этих образований является их явная реакция на внешние раздражители, например на облучение УФ светом, на изменения в лаборатории, на параметры экспериментов. После того, как приборы были некоторое время выключены, эти явления исчезают. Электромагнитные генераторы оставляют после себя пространственные образования, которые могут быть восприня-

ты приборами типа ИГА-1 [8]. Эти пространственные образования также исчезают с течением времени.

В некоторых экспериментах был обнаружен эффект так называемого 'функционального фантома' [9]. Например, в [10] генератор и сенсоры были связаны своеобразным волноводом. Регистрировалась передача сигнала от генератора к сенсорам. После того, как волновод был убран, сенсоры один раз в три часа все еще регистрировали сигналы от генератора на протяжении 3х дней с экспоненциально убывающей интенсивностью. В другом эксперименте совместно работающие сенсоры и генераторы оставались функционально связанными на протяжении 552 часов, в том время как генераторы были удалены на расстояние 20, 50 и 1650 метров [11]. Как и в предыдущем случае, интенсивность этой связи постепенно уменьшалась до ее полного прекращения. Анализируя литературу, можно также найти свидетельства подобных явлений у независимых друг от друга экспериментаторов [12], [13].

Мотивация для этой работы создана нашими предыдущими исследованиями, посвященными связи материи и мозга, например влияние экстрасенсорно одаренных людей на технологические сенсоры [3], сравнение методологии и интенсивности воздействия экстрасенсоров и приборных генераторов на биологические сенсоры [14], [4]. Эти эксперименты продемонстрировали возможность приборной детекции экстрасенсорного воздействия, более того, приборное воздействие во многих случаях является сходным по интенсивности и по направленности с человеческим (экстрасенсорным) воздействием. При анализе некоторых публикаций связанных с эффектом фантомов, см. например [15], была замечена аналогия между интерпретацией 'фантомов, созданных высокопроникающим излучением' и 'образований, созданных волевым усилием' [16]. И в том и в другом случае наблюдалась связь с ментальной активностью оператора.

Мы обратились к группе 'ChaosWatcher'¹, с которой традиционно сотрудничаем, с предложением о проведении эксперимента по программированию фантома. Эта группа объединяет непрофессиональных экстрасенсоров, способности которых были уже продемонстрированы, например в работе [3]. Была поставлена задача о создании простейшей сенсорно-моторной активности фантома, которую можно было бы детектировать имеющимися сенсорами. Основными вопросами, на кото-

Cybertronica Research, Research Center of Advanced Robotics and Environmental Science, Melunerstr. 40, 70569 Stuttgart, {serge.kernbach, olga.kernbach}@cybertronica.co

¹chaos_watcher@yahoo.com

рые должен быть дан ответ в этих экспериментах, являются: возможен ли контакт мозг-материя в случае приборно созданных фантомов? возможно ли программирование поведения приборно-созданных фантомов? возможна ли дистанционное создание приборных фантомов? Успех или же неудача этих экспериментов может служить индикатором того, насколько 'приборные фантомы' близки к концепции 'сущностей', известных в исторических исследованиях [17], [18]. Также совместно с этой группой была разработана и экспериментально продемонстрирована методика работы с удаленными фантомами.

Эти работы являются частью более широкой программы взаимодействий с фантомами, которая, однако, получилась слишком неоднозначной для ее полной публикации из-за количества 'мистических побочных эффектов'. Поскольку для сложных сенсорно-моторных функций использовались исключительно операторные фантомы, их поведение отличалось достаточным разнообразием, зачастую ненужным для 'чистого' эксперимента. Например, в попытке создания долгоживущего фантома с автономным питанием от генератора 'высокопроницающего' излучения, был частично потерян контроль над ним. Существование фантома все еще детектировалось сенсорами, однако операторы утверждали, что 'фантом сопротивлялся попыткам дальнейшего программирования'. К сожалению, это утверждение было невозможно проверить с помощью приборов. С расширением функциональности фантомов, приборные сенсоры все меньше и меньше становились пригодными для детектирования этой функциональности. Операторы все больше перенимали на себя считывание информации, в том числе из удаленных фантомов, что находится уже за границей приборной психотроники.

Эта работа имеет следующую структуру. В разделе II показаны некоторые попытки объяснения фантомных эффектов. Примеры простейшей реакции фантомов на внешние раздражители показаны в разделе III. Разделы IV и V посвящены программированию локальных и удаленных фантомов. Раздел VI подводит итог этой работе.

II. ФАНТОМЫ – ИСТОРИЯ, ГИПОТЕЗЫ И ПОПЫТКИ ОБЪЯСНЕНИЯ

В литературе эффект приборного последствия – его можно обозначить как приборный фантом – описан достаточно широко. Одним из первых описание этого эффекта относится к Козыреву [12] в терминологии 'накопление эффекта воздействия'. Например, сенсоры теряли чувствительность, и была необходима пауза 1-2 дня в экспериментах для возвращения нормальной функциональности. Козырев также предполагал, что накопленный 'эффект воздействия' окружающими конструкциями способен перетекать на датчик по проводам и элементам крепления. Ранние работы из 'спин-торсионного' направления упоминают об эффекте последствия в терминологии 'фантом торсионного поля' [13], [15]. Его характеристики относятся также к

изменению показаний сенсоров, зашумлению сенсоров и эффекту инерционности датчиков после выключения излучающих приборов.

Фантомный эффект часто описывается в рамках кирлиановского свечения отсутствующей части листа [19], [20], [21] или 'фантома ДНК' [22]. Известны попытки фотографирования фантомных изображений, в видимом и в УФ спектре, например, утверждается о возможности в некоторых случаях получать изображения объектов, бывших ранее на месте фотографирования [9], [23]. Современные исследователи также описывают различные эффекты приборных фантомов как в биологических, так и в технических системах [24], [25].

Тест эффекта последствия для светодиодного генератора производился неоднократно разными группами экспертов и опубликован в отчетах [26], [8]. Некоторые из характеристик приборных фантомов были описаны в [10]. Учитывая эти и другие работы, эффект приборного последствия можно считать подтвержденным в независимых экспериментах. На данный момент существуют несколько гипотез для объяснения феномена фантомов.

'Спин-торсионная' и 'темпоральная' гипотезы.

Название гипотезы 'спин-торсионная' происходит от одноименной теории физического вакуума, развиваемой некоторыми исследователями [27]. В рамках экспериментов, проводимых в этой комьюнити, эффекты последствия обозначаются как фантомы торсионного поля [13], фантомы спинового поля [28] и т.д. и относятся к полевым взаимодействиям. Эта гипотеза предполагает, что эти поля имеют способность запоминать воздействия, которые накапливаются в 'спиновых полях материальных объектов' [28]. В рамках этой теории неясно, могут ли 'спин-торсионные фантомы' существовать сами по себе, возможно ли взаимодействие сознания с фантомами и т.д.

Темпоральная гипотеза относится к работам Козырева, Лаврентьева [29] и других исследователей, и связана, по всей видимости, с энтропийными процессами в твердых веществах. Причина инерционности в изменении энтропии не ясна и связываются с 'внешним необратимым процессом'. Авторы в [29] указывают: '... что вся совокупность свойств динамики изменения массы и плотности вещества, в том числе замеченный нами эффект последствия (продолжение изменения плотности и массы после прекращения воздействия), показательна для изменения массы не как меры количества вещества, а как меры его гравитационного (инерционного) свойства'. Связь ментальных процессов и эффекта приборного последствия в этих работах не исследуется.

Информационная и энергоинформационная гипотеза. Информационная гипотеза имеет несколько версий и исходит от концепции информации как основы мироздания. Например, в [15] авторы рассматривают 'спин-торсионные фантомы' как связующее звено между материальным миром и абстрактными идеями. В этом контексте фантомы порождаются идеями и сами

порождают идеи. Торсионные поля, в виде устойчивых конфигураций, являются носителями фантомов. Интересна и идея о том, что 'фантом порождается сознанием'. В литературе биоэнергетического направления, например [16], прослеживается та же идея, однако с той разницей, что вместо полевого фактора присутствует множество иных гипотетических виталистических 'энергий', которые являются основой фантомов. В рамках этой литературы, фантомы зачастую обозначаются как 'сущности', 'энергоинформационные образования' и т.д. [30], [31]. Как правило, фантомы в рамках этой гипотезы также создаются непосредственно сознанием и взаимодействуют с сознанием, также в виде коллективных форм [32].

Эзотерическая гипотеза. Мы приводим эзотерические варианты гипотезы о фантомах в рамках вышесказанного утверждения о том, что некоторые эзотерические концепции имеют свое приборное подтверждение. Однако не следует забывать о том, многие из этих концепций не имеют никаких подтверждений. Для понимания эзотерической парадигмы можно сослаться на работы [33], [34], [35], [36]. В рамках этой парадигмы вводится целый сонм фантомов – от очень простых, до очень сложных образований. Как утверждается, некоторые из них даже могут обладать зачатками сознания. Контакты с фантомами происходят в измененных состояниях сознания. Более того, утверждается, что большое количество фантомов создается в состоянии эмоционального возбуждения [37].

Программирование фантомов. Технической литературы по программированию фантомов мало, мы смогли найти несколько отчетов, непосредственно связанных с этой темой. В работе [38] фантом создавался открытой пирамидой (теодолитом), программирование производилось передачей информации через луч лазера. Были использованы команды 'стереть указание', 'вращение влево' и 'вращение вправо' (предполагается, что оператор производил программирование фантома). Автор указывает, что перед передачей новой информации, нужно было стирать старую информацию. Необходимо также менять воду, 'в которой накапливался заряд, мешающий исполнению команд'. В работе [39] использовались фотографии для удаленной установки фантомов. Как пояснял автор, программирование фантома осуществлялось оператором путем ментальной концентрации на фантоме, как же как и с помощью модуляции излучения и использования ПИД эффекта на фантоме. Однако мы не можем пока найти экспериментальных результатов для этих экспериментов. В работе [40] фантом создавался эффектом форм (цилиндрами разной длины), программирование производил оператор путем ментальной концентрации, проверка результатов осуществлялась методом газоразрядной визуализации на приборе 'Корона ТВ'.

Программирование фантомов в эзотерической литературе освещено достаточно широко [16]. Одна из основных проблем этих методов заключается в зна-

чительной субъективной компоненте и сложностями с объективной проверкой результатов экспериментов.

Как мы видим из приведенной литературы, характеристики фантомов значительно зависят от области, из которой приведены ссылка – от сухих научных отчетов экспериментов до обширных измышлений на эту тему в эзотерической литературе.

III. РЕАКЦИЯ 'ЭФФЕКТА ПОСЛЕДЕЙСТВИЯ' НА ВНЕШНИЕ РАЗДРАЖИТЕЛИ

Приборные фантомы образуются обычно после длительных измерений с участием разных приборных или операторных форм 'высокопроникающего излучения', поэтому их называют также как 'эффект последействия'. Они проявляются как увеличение шума в измерительных приборах, появление различных высокоамплитудных пиков в динамике сигнала и т.д [9], и рассматриваются как побочные мешающие факторы. В

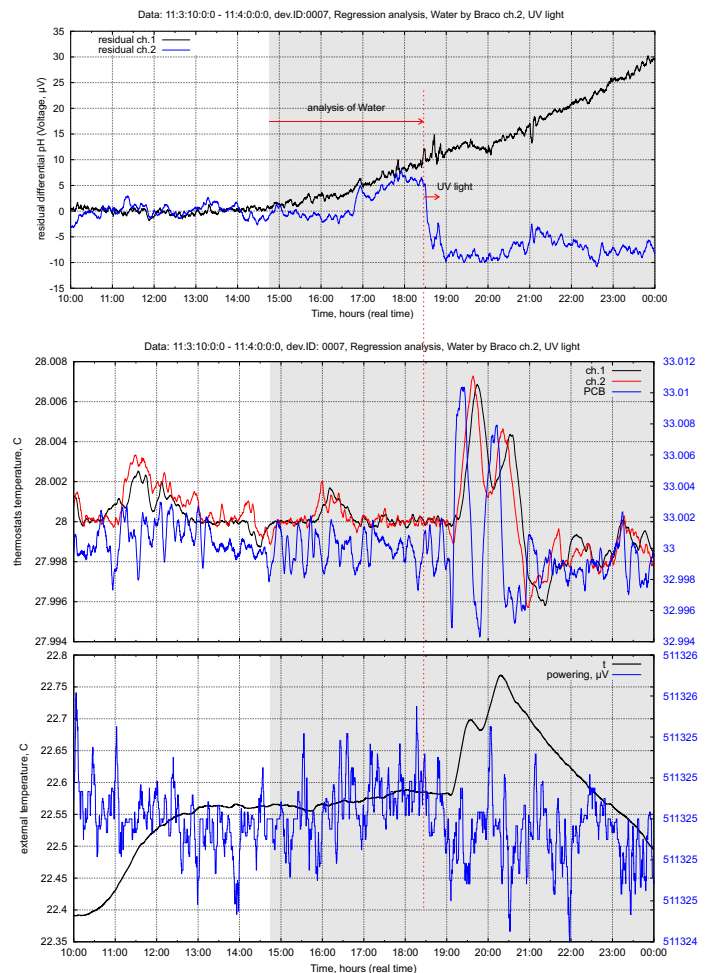


Рис. 1. Реакция экспериментального канала после выноса проб на УФ свет, верхний график – регрессионный анализ рН кривых, нижние графики – температура термостатов, лаборатории и питающие напряжения.

многoletней работе лаборатории мы заметили один интересный эффект – эти приборные фантомы 'реагируют' на внешние раздражители, иными словами имеется

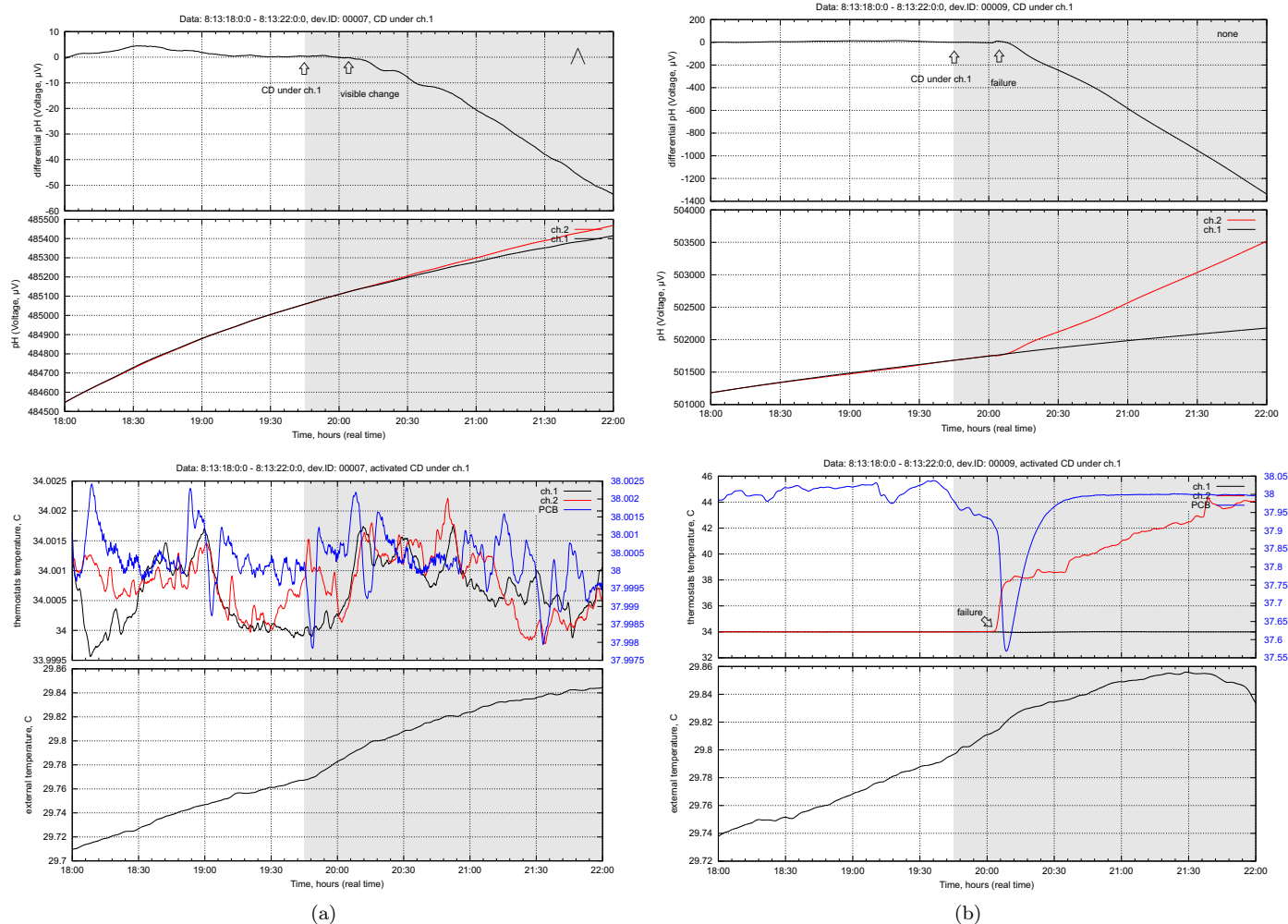


Рис. 2. Пример реакции дрН приборов в эксперименте 14.08.15. (а) Прибор N7, диск был внесен в систему в 19:45 под канал N1, видимая реакция началась в 20:05; (б) Прибор N9, в 20:05 наблюдается выход из строя канала N2 (канал находился на расстоянии 30см от внешней стены), график из [41].

корреляция между изменениями в динамике сигнала и некими внешними событиями. В этом разделе будут приведены три примера, которые типичны для трех классов подобных реакций: изменения в лаборатории, изменение в эксперименте и реакция на оператора. Для каждого из них имеются десятки наблюдений.

В первом примере пробы воды были обработаны известным хорватским экстрасенсом и целителем Вгасо. Эти интенсивные эксперименты длились уже порядка недели и по увеличению шума предполагалось образование приборного фантома на дрН приборе. После очередного замера и выноса контейнеров было решено обработать всю систему УФ светом средней интенсивности в диапазоне 250–400 нм. УФ излучатель стоял на расстоянии 2х метров, использовалось независимое питание для него. На рисунке 1 показана реакция прибора: 3.11.15: в 14:45 пробы воды были вставлены в прибор, в 18:05 – убраны из дрН прибора и в 18:07 был включен УФ свет. Экспериментальные пробы находились под каналом 2. Это канал показал сильную реакцию на УФ свет, первый канал изменений не пока-

зал. Каких-либо помех в этот момент зарегистрировано не было. Чтобы показать необычность этой реакции, нужно сказать, что дрН прибор состоит из металлических вакуумных термостабилизированных контейнеров, которые полностью изолируют пробы и электроды от температурных и ЭМ воздействий и соответственно от света.

Второй пример также относится к дрН измерениям и опубликован в [41]. В этом случае три комплекта измерительной аппаратуры работали порядка 3х недель в режиме непрерывных измерений с разнообразными пробами, см. рисунок 2. В эксперименте 14.08.15 экспериментальный CD диск был внесен в прибор N7 в 19:45 под первый канал, видимая реакция началась в 20:05. Прибор N9 находился на расстоянии 50 см от прибора N7 и на расстоянии 30см от внешней стены. В момент начала реакции прибора N7, в 20:05 наблюдается выход из строя второго канала в приборе N9. Оба (слаботочных и маломощных) прибора являются строго независимыми друг от друга с отдельным питанием, т.е. какое либо электрическое кросс-взаимодействие исключает-

ся. Также не наблюдаются какие-либо термические или ЭМ помехи в этот момент.

Третий пример наиболее типичен и встречается очень часто в работе лаборатории. На рисунке 3 показано измерение 6.11.15 двух одинаковых проб жидкостей – подобные контрольные эксперименты проводятся регулярно для проверки балансировки рН приборов. Измерение началось в 15:00 и первые 90 минут протекали без особых аномалий. В 16:20 женщина-оператор Е.К. покинула здание. В этот же момент началось спонтанное изменение рН динамики второго канала. Как показывают дополнительные сенсоры, аномалий температуры, магнитных полей, механических воздействий и питающего напряжения зарегистрировано не было. Обычно, в калибровочных экспериментах рН динамика обоих каналов следует друг другу, резкие отклонения спустя какое-то время после начала эксперимента нетипичны.

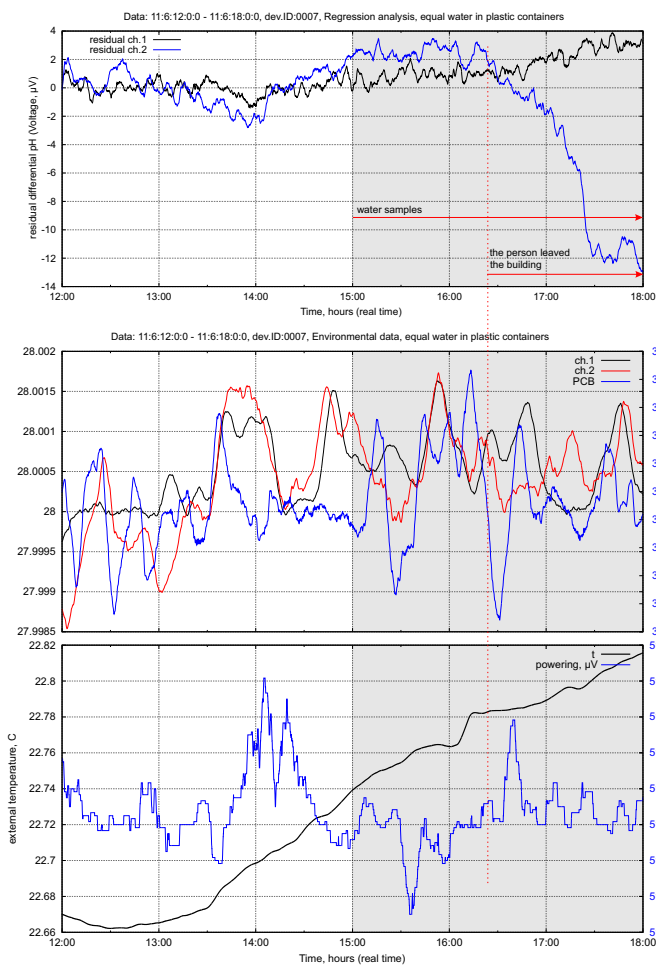


Рис. 3. Контрольный эксперимент 6.11.15 с двумя одинаковыми пробами жидкостей. Наблюдается аномалия в динамике второго канала в 16:20 после покидания одним из операторов здания лаборатории.

Подобные спонтанные изменения рассматриваются в обычных измерительных системах как случайный шум и игнорируются. Однако при накоплении подобных наблюдений, особенно при явной корреляции с внешними

событиями, приходится задумываться об их наиболее вероятной причине. После проверки работоспособности и возможных паразитических связей в приборах, у нас не остается другой альтернативы как высказать гипотезу об участии 'эффекта последействия' в этих аномалиях. Наиболее необычным является способ фантомного восприятия событий, которые не относятся к глобальным параметрам всей лаборатории, как, например, включение УФ света. Так, часто аномалии коррелируют с удаленными или, наоборот, очень локальными событиями, как например активности оператора или динамика другого прибора. Во многих случаях мы не в состоянии найти видимую корреляцию. Также очень сложно целенаправленно воспроизвести эти эффекты. Например, оператор Е.К. не всегда оказывает влияние на приборы (или на животных в ее присутствии), однако вероятность связать аномальность рН динамики с ее приходом или уходом, особенно в эмоциональном состоянии, очень высока.

IV. ПРОГРАММИРОВАНИЕ ЛОКАЛЬНЫХ ФАНТОМОВ

Идея задавать фантомам определенные программы возникла на фоне трех работ: исследование функциональных фантомов, которое началось в [8], накопление статистики о реакции 'эффектов последействия' на внешние события и с опытом наших коллег-операторов по методикам создания 'сущностей' из литературы эзотерического направления. В последующих разделах показаны три серии экспериментов, которые длились примерно 4-5 недель (с различными интервалами между ними). В качестве генератора использовался светодиодный генератор с ПИД модулем [42], в качестве сенсоров – высокочастотный кондуктометрический датчик [43] и фитосенсоры [9].

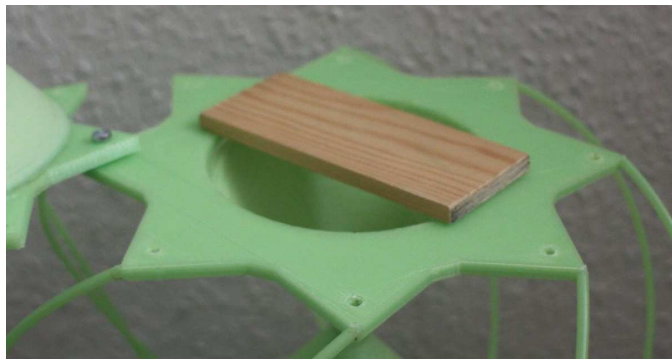
A. Первая серия экспериментов

В первой серии эксперименте было предположено, что фантом будет создан в ПИД модуле, а программа для него будет составлена оператором. Для программирования использовался вариант техники, изложенный в [16]. Для привязки фантома использовался небольшой деревянный предмет, который был установлен в адресный конус ПИД модуля, см. рисунок 4(а).

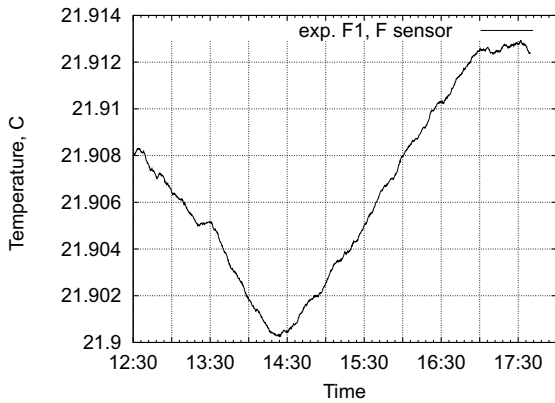
Программа для фантома состояла из простой команды – 'если будет обнаружена световая индикация, то нужно активировать сенсоры'. Световая индикация была создана таймером, который включался один раз в 30, 60 или 180 минут и на протяжении 2-х и 20-ти минут давал импульсы света встроенными светодиодами.

В первой попытке (эксперимент F1), деревянный предмет был извлечен из ПИД модуля и поставлен на таймер рядом с контейнерами с сенсорами, расстояние составляло порядка 20см, таймер включался через каждые 30 минут. Графики откликов двух сенсоров показаны на рисунке 4.

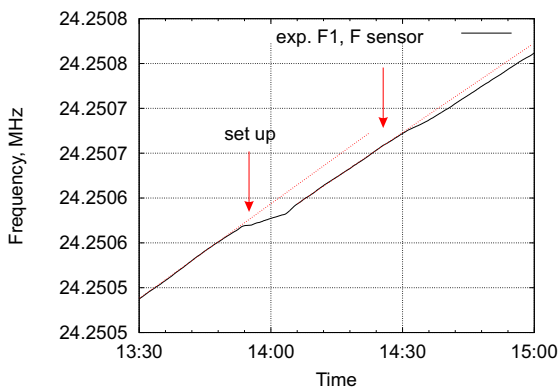
Мы наблюдаем отклик двух сенсоров. Однако он довольно сильно затухает со временем, например, уже



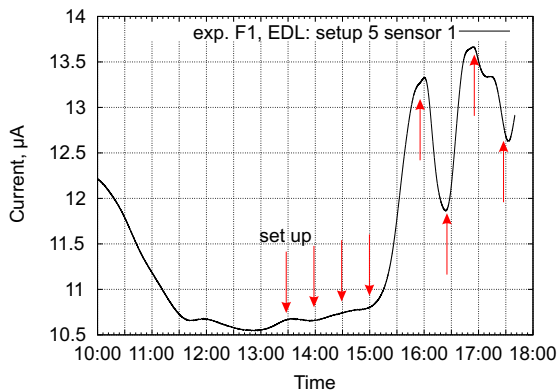
(a)



(b)

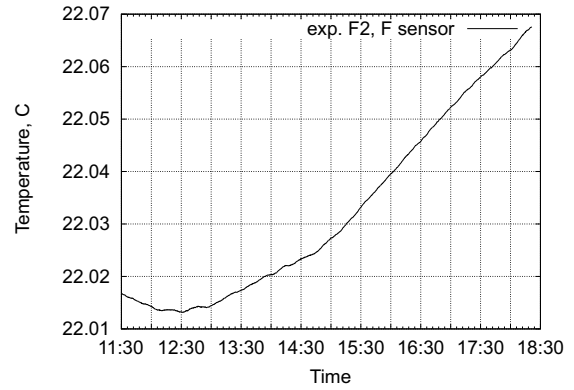


(c)

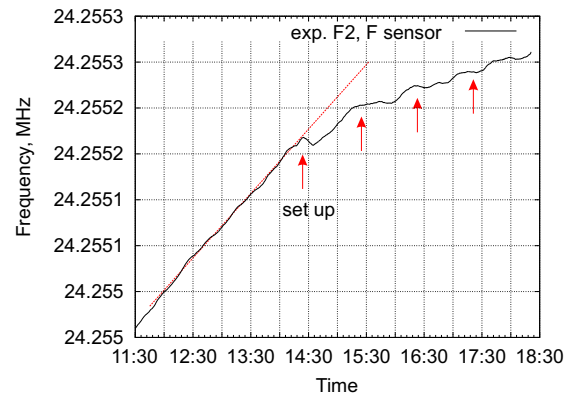


(d)

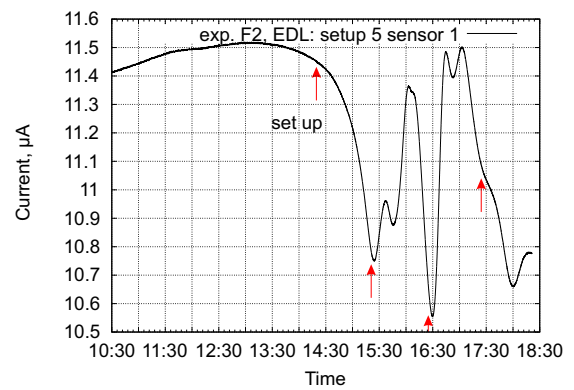
Рис. 4. (a) Деревянный предмет, использованный для привязки фантома и установленный в адресный конус ПИД модуля. Эксперимент F1, показания (b) температурного сенсора; (c) частотного сенсора, (d) токового сенсора установки номер пять. Предполагаемые воздействия помечены стрелками, начало воздействия в 13.55, интервалы между активацией таймера – 30 минут.



(a)



(b)



(c)

Рис. 5. Эксперимент F2, показания (a) температурного сенсора; (b) частотного сенсора, (c) токового сенсора установки номер пять. Предполагаемые воздействия помечены стрелками, начало воздействия в 14.22, интервалы между активацией таймера – 60 минут.

через час изменения в частотном сенсоре более не видны. Та же самая ситуация и с ДЭС сенсором, мы наблюдаем возникновение осцилляции через час после начала воздействия с периодом в 30 минут. Первое впечатление из этого эксперимента – мы однозначно наблюдаем некий отклик, но он довольно слабый и неспецифичный. Например, не удается распознать частоту активации фантома, т.е. непонятно, работает ли программа фантома.

Как продолжение этого эксперимента, ПИД модуль вместе с деревянным предметом были удалены на рас-

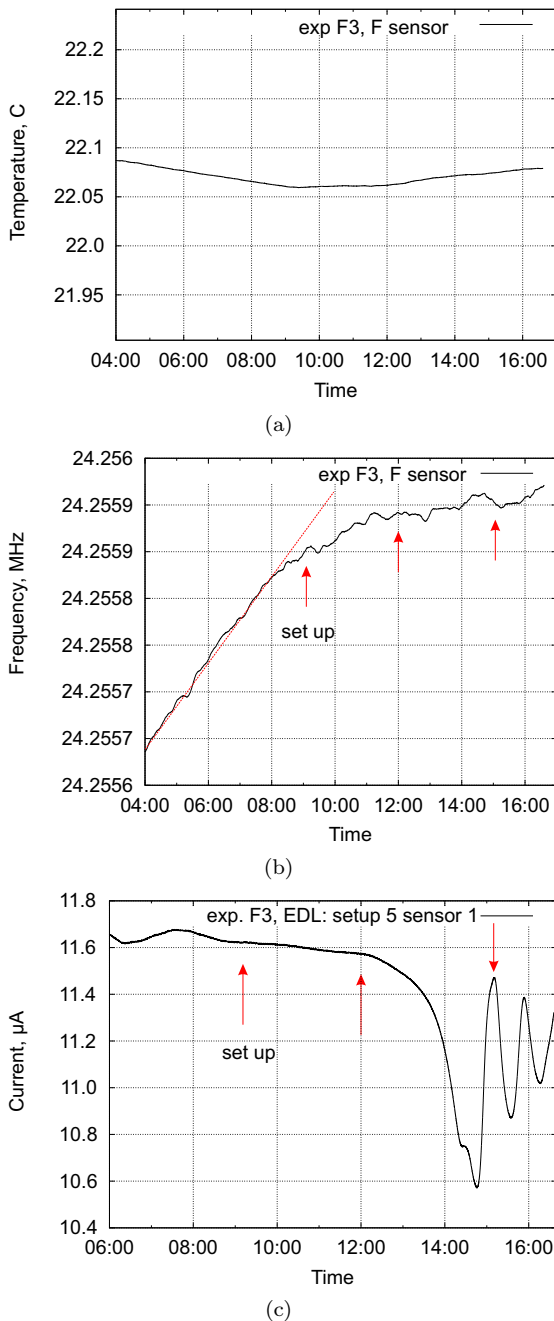


Рис. 6. Эксперимент F3, показания (а) температурного сенсора; (б) частотного сенсора, (в) токового сенсора установки номер пять. Предполагаемые воздействия помечены стрелками, начало воздействия в 9.00, интервалы между активацией таймера – 180 минут.

стояние в 15 метров. Таймер был запущен вручную. Однако этот эксперимент не принес результатов - сенсоры не показали никакой реакции вообще.

Были изменены условия эксперимента. Так, во втором эксперименте F2 период включения таймера составляло 60 минут и не только деревянный предмет, но и весь ПИД модуль был открыт и установлен вблизи сенсоров (порядка 40см. от сенсоров). Для усиления сигнала использовался 5ти ступенчатый структурный усилитель (СУ). Используемые СУ в [10] не вы-

зывали сами по себе реакции сенсоров, поэтому мы отклоняем мысль о том, что СУ являются источником реакции сенсоров.

Как и в первом случае, здесь мы также отмечаем отчетливую реакцию сенсоров (в этом случае большее количество сенсоров показали реакцию) на присутствие фантома, см. рисунок 5. Однако также эта реакция все еще не специфична и затухает со временем. Снова не удается отчетливо распознать моменты активации фантома.

В третьем эксперименте условия были изменены еще раз. Поскольку фантом создавался в ПИД модуле практически непрерывно, была выдержана пауза перед экспериментом. В течение 30 минут фантом программировался оператором. Пауза между активацией таймера составляла 3 часа и только два включения были запланированы. Как фантом, так и таймер были отнесены на большее расстояние от сенсоров. Результат этого эксперимента показан на рисунке 6.

Как и в предыдущих случаях, наблюдается реакция сенсора на 'высокопроникающее излучение', созданное фантомом, но нет никаких указаний на то, что этот фантом имеет периодическое включение.

Анализ результатов первой серии. Хотя основная цель не была достигнута, эксперименты в первой серии показали несколько интересных результатов. Во-первых, созданный фантом излучал непрерывно, в то время как фантом из работы [10] не излучал самостоятельно, а только являлся проводником излучения генератора. Мы наблюдаем разницу в функции фантома исходя из функции исходного прибора. Во-вторых, операторы отметили разницу в программировании. 'Классические руководства' [16] или [35] указывают на необходимость использования 'части самого оператора' для создания фантома, в то время как использованная методика только навязывала программирование фантому, созданному прибором. Операторы высказали мысль о том, что фантом вероятно не в состоянии не только воспринимать сигнал таймера, но и активно воздействовать на сенсоры. Операторы также отметили эффект 'ожога руки' при длительном прикосании, более 10 минут, к деревянному объекту из адресного конуса ПИД модуля.

Для следующей серии экспериментов мы договорились принципиально изменить структуру попыток. Во-первых, операторы будут пытаться более пунктуально следовать руководствам. Во-вторых, будет создан прибор, воспроизводящий искомую сенсорно-моторную связь. Будет проверено, в состоянии ли созданный фантом имитировать функциональность этого прибора.

В. Вторая серия экспериментов

Эксперимент F4. Вторая серия экспериментов началась с простого опыта, когда излучение, создающее фантом, имеет периодическую природу, например 1 час

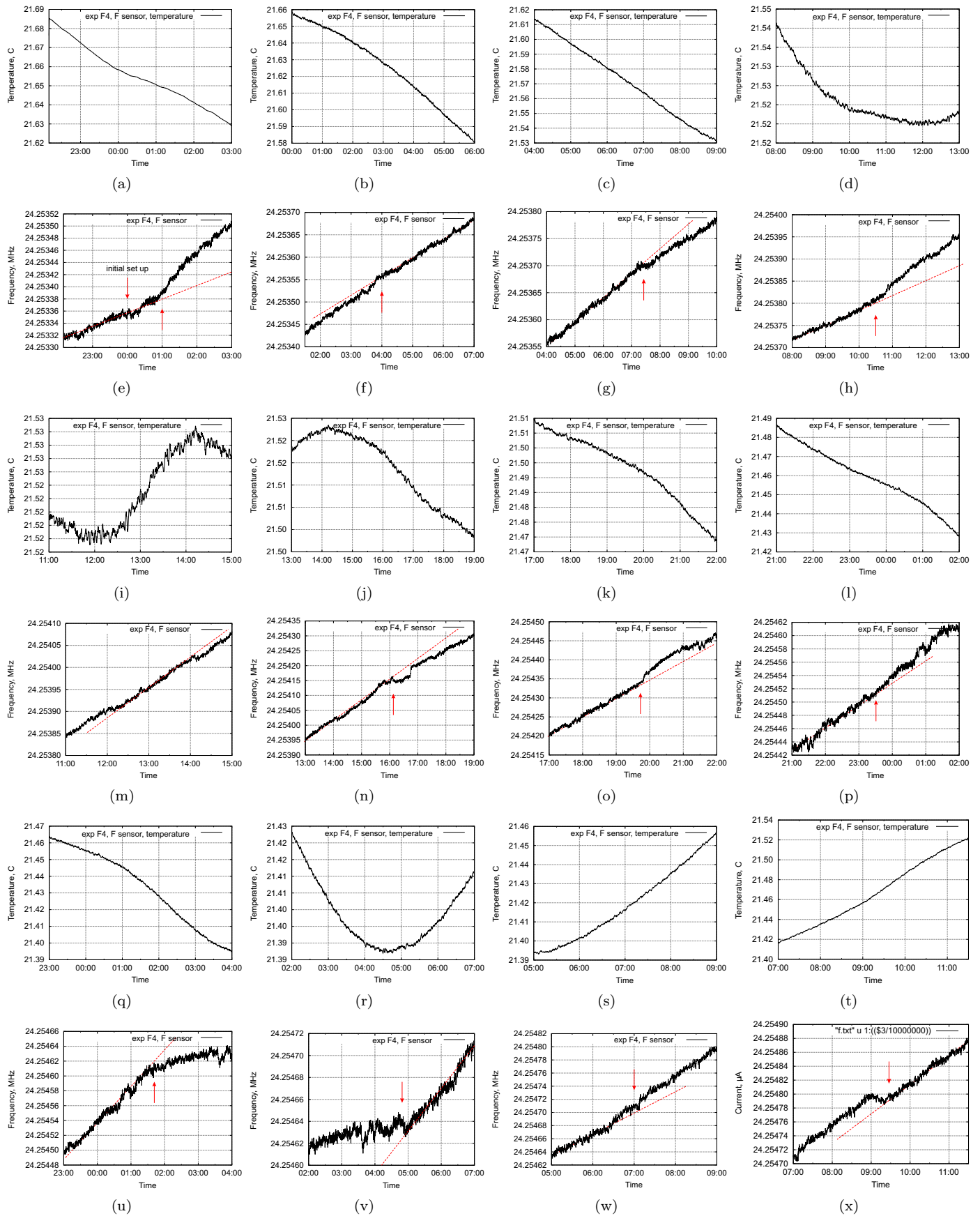


Рис. 7. Эксперимент F4, показания температурного и частотного сенсора. Предполагаемые воздействия помечены стрелками, начало воздействия в 24.00.

Таблица I
РЕЗУЛЬТАТЫ ВТОРОЙ СЕРИИ ЭКСПЕРИМЕНТОВ (ОПЫТЫ F4).

	1	2	3	4	5	6	7	8	9	10	11	12
время	0.00- 1.00	4.00 3.00	7.30 3.30	10.30 3.00	13.00 (none)	16.10 6.10	19.30 3.20	23.30 3.00	1.50 2.20	4.50 3.00	7.10 2.20	9.30 2.20
период												

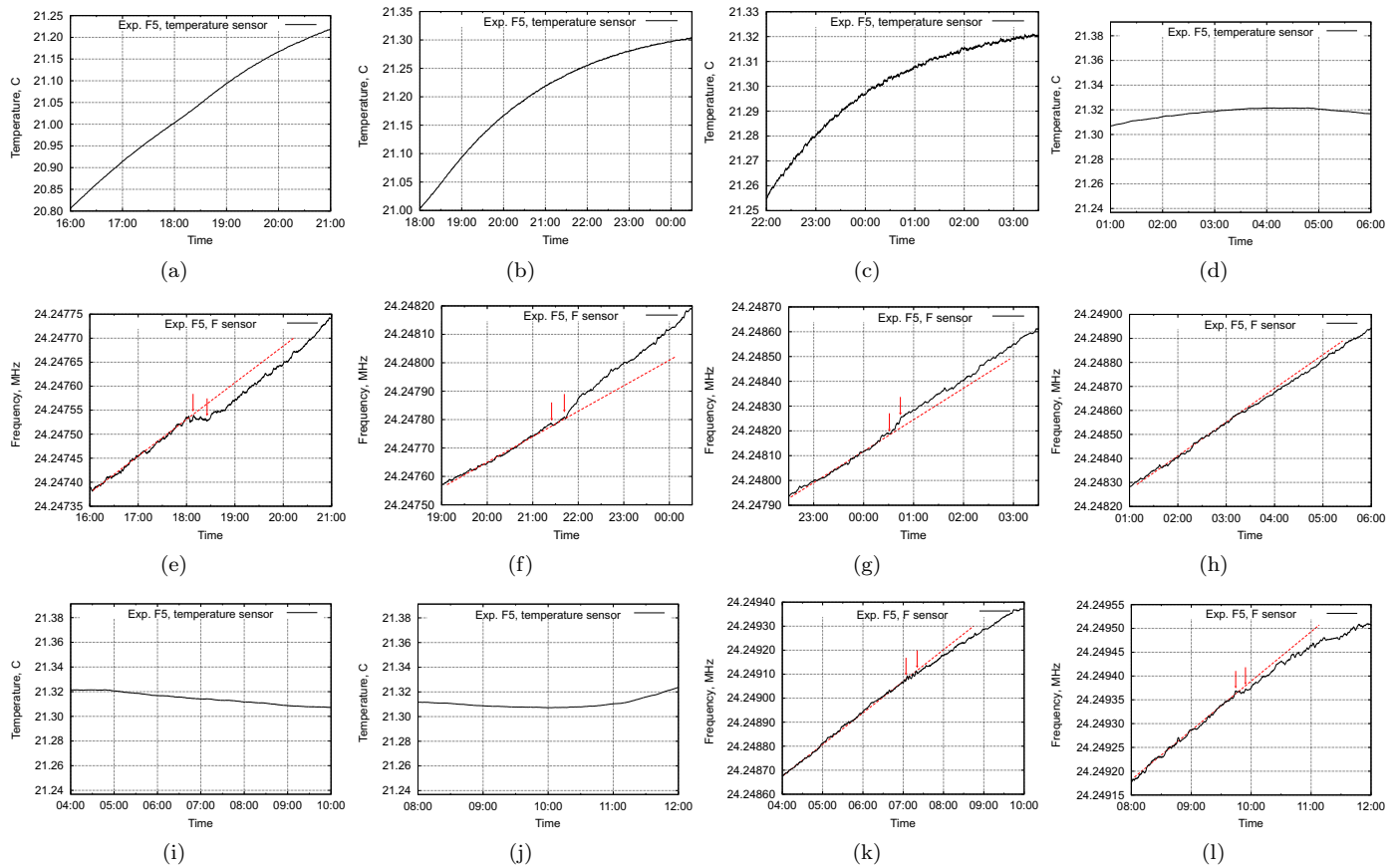


Рис. 8. Эксперимент F5, показания температурного и частотного сенсора. 20ти минутное включение таймера отмечено стрелками, начало воздействия в 18.10.

активация генератора, три часа пауза. Первое время включения генератора было около 9.00, фантом создавался на протяжении 24 часов. Во время проведения этого эксперимента произошла ошибка (программа снятия значений была не запущена), поэтому ПИД генератор был перезапущен с тем же самым ритмом, с новым временем включения – около 24.00. Поскольку сенсор реагирует на часовое воздействие в некоторой точке в течении этого часа, мы ожидаем появления периодических изменений сенсора с периодом между 3 и 4 часами.

Графики температурных и частотных показаний сенсора приведены в этом эксперименте на рисунке 7, времена изменений динамики собраны в Таблице I. Мы действительно наблюдаем изменения показаний сенсора с периодом между 4.00 и 3.00 часами на протяжении первых 24 часов. На протяжении следующих 12 часов период снизился до 3.00-2.00 часа. Наблюдается именно второй ритм включения, начиная с 24.00. Как результат этого эксперимента мы наблюдаем действие при-

борного фантома, который повторяет функциональность ПИД генератора – периодическое включение с периодом в три часа.

Эксперимент F5. Фантом в следующем эксперименте был создан оператором. Для этого использовался вариант техники [16] с программой 'быть активным как только виден красный свет'. Сам красный свет задавался таймером, включающимся через каждые три часа на 20 минут. Фантом программировался в течение трех дней, последний раз непосредственно перед экспериментом. Камень, с которым был связан фантом, помещался в приемный конус СУ. Графики показаний сенсоров показаны на рисунке 8.

Мы наблюдаем периодические изменения показаний сенсора в течение 6 циклов включения таймера. Амплитуда изменений уменьшается каждый раз. Отчетливые изменения регистрируются только в первых трех попытках, где наблюдается 20-минутный период включения таймера. В 4й, 5й, 6й включениях изменения практически не наблюдаются.

Анализ результатов второй серии. Как мы видим, фантом создается периодической (повторяющейся) активностью, связанной с 'высокопроникающим' излучением. Также фантом с периодической активностью, заданной включением таймера, был создан оператором. Приборный фантом существовал более суток (предположительно даже и после того, как сенсоры были выключены), в то время как операторный фантом уже после 9 часов (после трех включений) не вызывал существенных показаний сенсоров. Иными словами, операторный фантом был гораздо слабее, по всей видимости операторные фантомы имеют очень короткие времена существования. Поскольку сенсоры воспринимают интенсивность воздействия, то помимо более короткого времени работы фантома, мы также отмечаем меньшую интенсивность воздействия операторного фантома. С другой стороны, в операторном фантоме была создана сенсорная функциональность – воспринимать красный свет – что не удалось сделать в экспериментах F2-F3.

Можно высказать гипотезу о том, что 'источником питания' для фантома, с одной стороны, является 'высокопроникающее излучение' генератора, с другой стороны, некая 'энергия', связанная с оператором. Являются ли эти две 'энергии' эквивалентными, т.е. являются ли приборный и операторный фантомы эквивалентными и совместимыми друг с другом – этот вопрос остается пока еще открытым. В литературе [16] встречаются описания источника питания для фантомов в виде 'рассеянной энергии', однако мы предполагаем, что эти источники питания, если они и существуют, являются очень слабыми. Необходим поиск мощного приборного источника питания для фантомов.

Считается, что фантомы могут создаваться удаленно по адресному признаку (например фотографии), однако сложно предположить, что энергия также передается нелокальным образом – предполагается, что это способность присуща только информации. Возможно, что фантом использует локальные ресурсы для своего существования, в то время как программы для фантома передаются нелокально. Эта идея была проверена в следующем эксперименте.

V. ПРОГРАММИРОВАНИЕ УДАЛЕННОГО ФАНТОМА

В этой серии экспериментов использовалась идея создания фантома на основе локальных ресурсов, но с нелокальным программированием. Создание удаленного фантома таким методом не отличается особой сложностью, однако необходимо использовать локальные источники 'высокопроникающего' излучения в том месте, где создается фантом. В некоторых работах авторы утверждают о возможности создания стабильных нелокальных фантомов без локального источника [44], однако этому еще не было подтверждений. Установка для этой серии экспериментов состояла из локальной и удаленной частей, эта методика типична для целого класса подобных опытов.



(a)



(b)

Рис. 9. Опыт по созданию удаленного фантома. Фотографии (а) локальной части системы, состоящей из фитосенсора, конуса, светодиодного генератора I и половины монеты 50 центов, и (б) удаленной части, состоящей из открытого светодиодного генератора II, второй половины монеты и оператора, который находится вблизи генератора II.

На рисунке 9 показаны локальная и удаленная части этого эксперимента. В локальной части использовался фитосенсор (биологическая часть – растение кактус), в котором измерялась проводимость тканей на частоте 1 МГц. Параллельно с проводимостью регистрировались температура, влажность и освещенность в помещении. Само помещение было закрыто, в здании находилось всего лишь несколько человек вдали от этой лаборатории. Это методика является вариантом работы В.А.Соколовой [45] и эксперимента А.Е.Акимова, опубликованного в [46]. По изменению проводимости делался вывод об активности создаваемого фантома. В непосредственной близости от сенсора был установлен светодиодный генератор I с надетым конусом. На конец конуса была закреплена половина монеты в 50 центов. Вторая половина монеты находилась в удаленной части эксперимента на втором генераторе II, расположенном в другом помещении на расстоянии порядка 15 метров. Оператор находился вблизи генератора II. Из этого помещения фитосенсор не реагирует ни на включение генератора, ни на ментальные активности оператора (без использования адресных элементов). Задача этого

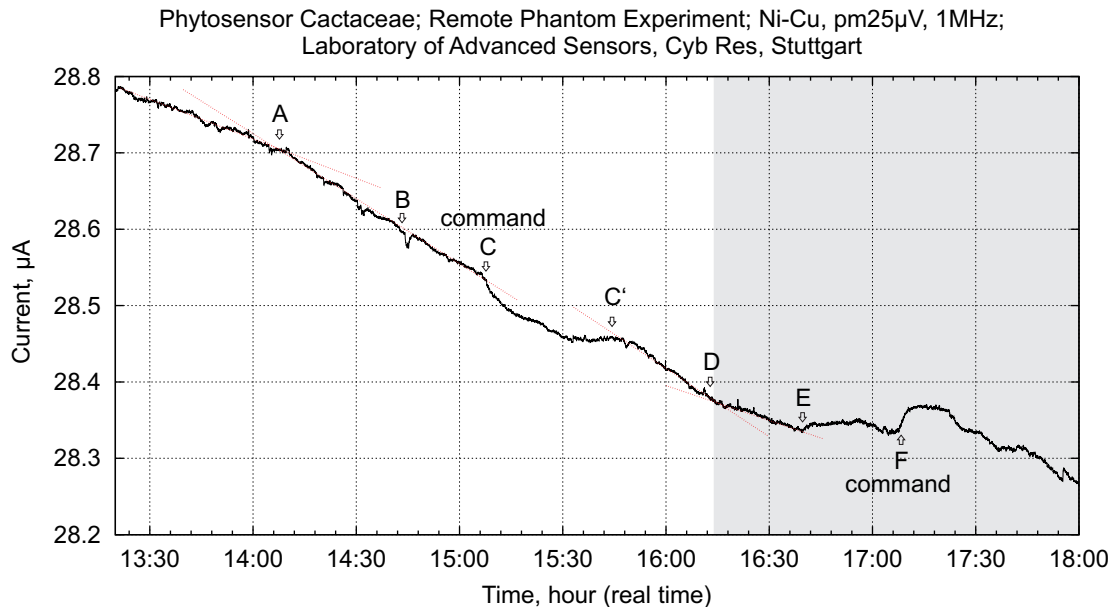


Рис. 10. Динамика проводимости тканей растения на частоте 1 МГц в опыте по созданию удаленного фантома. Серой полосой показано время включения генератора I, см. пояснение в тексте.

опыта заключалась в том, чтобы создать локальный фантом из удаленного помещения и сравнить интенсивности фантомов, созданных пассивным и активным генераторами.

На рисунке 10 показана динамика проводимости тканей растения. В первые 60 минут записывался сигнал фитосенсора без воздействия. Затем был включен удаленный генератор II (в локальной части эксперимента использовался только конус как пассивный генератор). Через 4 минуты сенсор продемонстрировал первое изменение тренда (точка A на графике). Через 40 минут в точке B генератор II был выключен, в этой точке заметен небольшой всплеск проводимости. Таким образом, все активные излучатели были отключены в точке B. Через 20 минут в точке C оператор вознамерился включить генератор I, но не включил его. Этим была отдана бессознательная команда фантому на изменение типа активности (в этом опыте любое изменение активности было приемлемо). Нужно сказать, что передача команд 'прерванными моторными активностями' – намерением выполнить некое действие – достаточно эффективно, эта методика применяется в ряде систем психофизических тренировок [47].

Канал для эффекта нелокальной связи был создан двумя половинами монеты. Мы наблюдаем в точке C резкое изменение тренда, несмотря на то, что физически все генераторы были отключены, и оператор находился за пределами 'прямой' чувствительности фитосенсора. Это указывает на активность фантома. В точке C' динамика сигнала вернулась к прежнему тренду, можно предположить, что фантом прекратил свое действие. Нужно отметить, что время между точками A-B (создание фантома) и B-C' (рассасывание фантома) приблизительно равны между собой.

В точке D был включен генератор I, этот момент виден на графике как отклонение тренда сигнала. Интенсивности откликов фитосенсора для точек A и D – прямое воздействие локального и удаленного генераторов – сходны между собой. В точке E был снова включен генератор II, и в точке F отдана команда фантому о намерении совершить действие. Также, как и в первый раз, эта команда отразилась значительным отклонением тренда. Таким образом, все шаги по созданию удаленного фантома были повторены за тем исключением, что в этот раз локальный генератор I был включен. Сравнивая интенсивности отклонения сигналов в точках C и F – воздействия фантомов, созданных пассивными и активными генераторами – можно отметить более сильный отклик 'активного' фантома. Повторим еще раз, что отклики на воздействия генераторов без фантомов были сходными.

Между точкой F и окончанием опыта оператор занимался обычными делами, общался с коллегами и т.д. Это практически не отражалось на активности фантома, и подтверждает мысль о необходимости вхождения в специальное состояние сознания при работе с фантомами. Нужно отметить, что изменения тренда (точки E и F) при активном локальном генераторе обладают большей амплитудой, иными словами, фантомы активных генераторов имеют большую интенсивность. На основе этой техники можно разработать множество вариантов создания и управления удаленными фантомами.

VI. ЗАКЛЮЧЕНИЕ

Эта работа посвящена приборным и операторным фантомам – начиная от простых эффектов последствия, до сложных и, зачастую, противоречивых результатов по программированию операторных фанто-

мов. Здесь не преследовалась задача накопить статистически существенное число повторений или реплицировать множественные операторные эксперименты, известные в парапсихологии. Мы видели задачу в проведении поисковых экспериментов по приборному взаимодействию с фантомным эффектом и установлении сходностей/отличий между 'операторными сущностями' и приборными фантомами.

Пока нельзя сказать с уверенностью, с чем именно мы имеем дело в случае фантомов. Опыты с операторными фантомами достаточно захватывающие. Если выразиться на техническом языке, у нас создалось впечатление, что операторные фантомы в какой-то мере сходны с ... роботами. Существуют множественные параллели с сенсорно-моторными связями, программированием когнитивных возможностей, обеспечение 'энергией', созданием адаптационных и коллективных программ управления и т.д. Можно предположить, что при соответствующем программировании фантомы могут проявлять достаточно продвинутое 'интеллектуальные способности'. Следует относиться реалистично к возможностям приборных фантомов. От них не стоит ожидать сложной функциональности, особенно если их активность связана с реальным миром. Мифы о негативных воздействиях фантомов, созданных по фотографическим отображениям, см. например [48], стоит воспринимать с долей здравого смысла.

Приборные фантомы не менее интересны – они 'охотно селятся' на генераторах, комбинируются с техническими приборами и взаимодействуют с целым рядом сенсоров. Мы считаем возможным создание гибридных фантомов, долговременно составляющих часть приборов. Фантом получает питание от 'высокопроникающего' излучения генератора, взамен он выполняет некую функциональность в 'тонком мире'. Вероятно, что гибридные фантомы смогут решить проблему коммуникации с различными формами сложных операторных 'созданий'. Подобный фантомно-приборный интерфейс между 'невидимым миром' и реальным миром может вполне выступать в качестве интересного и перспективного направления будущих работ в психотронике.

Сравнивая приборные и операторные фантомы, нужно признать, что они несколько отличаются друг от друга, однако это впечатление создается в первую очередь на основании высказываний операторов. В целом, эксперименты с фантомами очень быстро переходят в 'метафизические' опыты по той причине, что функционирование фантомов не воспринимается нашими органами чувств. Единственная возможность общения с ними заключается либо в редукции 'языка' до обмена простыми сигналами, детектируемыми сенсорами, либо коммуникации в проекциях сознания. В первом случае изменения на графиках не несут много информации и могут быть интерпретированы достаточно произвольно. В последнем случае имеется опасность заблудиться в иллюзиях проекций, т.е. заниматься самообманом. В некотором смысле эти опыты показали, что считывание

фантомного сигнала одним сенсором является тупиковым путем, несмотря на то, что сенсоры действительно детектируют какие-то активности фантома. Мы предполагаем, что системы символьных взаимодействий с 'сущностями', известные в истории, см. например обзор енохианской системы Джона Ди [18], могут являться более продвинутым путем технологического взаимодействия с этими объектами. Более того, этим же образом могут быть построены взаимодействия и с уже существующими 'тонкими объектами'.

В заключении нужно сказать, что как и в других наших работах, читателю предоставляется экспериментальный материал, чтобы он сам мог составить мнение об этом феномене, и, по возможности, повторил некоторые из описанных экспериментов.

СПИСОК ЛИТЕРАТУРЫ

- [1] Nosal Ivan. *Zbornik Radiva - Proceedings and Abstracts 6th International Conference on Psychotronic Research - Science nowadays, New Technology*. Zagreb, Eigenverlag, 1986.
- [2] Joseph Jameson. *PSYCHOTRONIC MAGIC: Constructing Electronic Devices to Amplify the Power and Effectiveness of any type of Ritual Magic, Sorcery, Remote Viewing, and Remote Influence*. CreateSpace Independent Publishing Platform, 2011.
- [3] Сергей Кернбах, Виталий Замша, and Юрий Кравченко. Дальние и Сверхдальние Приборные Взаимодействия. *Журнал Формирующихся Направлений Науки*, 1(1):24–42, 2013.
- [4] S.Maslobrod, E.Maslobrod, and S.Kernbach. Long range interaction within the system 'semiconductor generator - matrix - seeds'. In *Proceedings of conference 'Bio-Energy-Information Interactions. Ecology and Safety'*, pages 62–66, Moscow, 2013.
- [5] Louis F. Maire III. *Soviet And Czechoslovakian Parapsychology Research: The Dia Report From 1975 With New Addenda*. lulu.com, 2011.
- [6] В.А. Жигалов. *Характерные эффекты неэлектромагнитного излучения*. Интернет публикация, 2011.
- [7] И.А. Мельник. *Осознание 5й силы*. Москва, Фолиум, 2010.
- [8] Сергей Кернбах and Влад Жигалов. Отчет о проведении экспериментов по изучению эффекта 'фантомов'. *Журнал Формирующихся Направлений Науки*, 1(2):56–60, 2013.
- [9] С. Кернбах. *Сверхъестественное. Научно доказанные факты*. Алгоритм. Москва, 2015.
- [10] Serge Kernbach and Olga Kernbach. О влиянии геометрии структурных элементов на параметры высочастотной неконтактной кондуктометрии. *Находится в процессе публикации*, 2013.
- [11] С. Кернбах. Исследование Проникающей Способности Светодиодного и Лазерного Излучения, ч.1, ч.2. *Нано- и микросистемная техника*, 6,7, 2013.
- [12] Н.А. Козырев. *Избранные труды*. Л.: Ленинградский Университет, 1991.
- [13] В.И. Лунев. *Поисковые экспериментальные исследования в области спин-торсионных взаимодействий*. Томск, 1995.
- [14] S.N.Maslobrod, V.G.Karanfil, and S.Kernbach. Change of morphological parameters of seeds and sprout of wheat at a distant energoinformation impact on seeds and soil. In *Proceedings of XXII international symposium 'Protection of bio- noosphere. Entology. Unconventional plant cultivation. Ecology and medicine'*, Alushta, 2013.
- [15] В.Н.Бинги and А.Е.Акимов. О физике и психофизике. М., *Препринт / Межотрасл. науч.-техн. центр венчур. традиц. технологий; N 35*, 1992.
- [16] Дмитрий Верицагин. *Техника одушевления предметов. Книга I и II*. Невский проспект, 2006.
- [17] С. Кернбах. 'Высокопроникающее' излучение на Западе. Краткий обзор глазами инженера. Часть 2. *Журнал Формирующихся Направлений Науки*, 6(2):62–98, 2014.
- [18] С. Кернбах. Миры Джона Ди. *Журнал Формирующихся Направлений Науки*, 2015.

- [19] В.М.Инюшин. *Элементы теории биологического поля*. Алма-Ата, 1978.
- [20] В.Г.Адаменко and Л.Виленская. *Светящиеся фантомы. Загадки высокочастотной биоэлектроники*. Техника - молодежи, N10, 52-57, 1974.
- [21] J.K. Choudhury et al. *The Journal of the Institution of Engineers, Vol. 60*. 1979.
- [22] П.П.Гаряев. *Новый тип памяти ДНК? 'Волновой геном'*. Общественная польза, 166-199, 1994.
- [23] М.С.Радюк. Фантомный эффект. *Квантовая магия*, (7(4)):4139-4143, 2010.
- [24] В.Т. Шкатов. Детектирование торсионных полей. *Интернет-публикация, Томск, www.trinitas.ru/rus/doc/0231/004a/02311037.htm*, 2010.
- [25] М.С.Радюк. Эффект 'неоднородности пространства' в биологических и физических процессах. *Квантовая магия*, (3(4)):4141-4155, 2006.
- [26] В.А.Жигалов, В.В.Брунов *Лабораторные работы с фантомами от торсионных генераторов. Журнал Формирующихся Направлений Науки*, 1(3):43-49, 2013.
- [27] Г.И. Шипов. *Теория физического вакуума*. Москва, НТ-центр, 1993.
- [28] А.В. Бобров. Взаимодействие спиновых полей – пятое фундаментальное взаимодействие, ч.1. *Журнал Формирующихся Направлений Науки*, 1(1):48-57, 2013.
- [29] М.М.Лаврентьев, И.А.Еганова, М.К.Луцет, and С.Ф.Фоминых. О реакции вещества на внешний необратимый процесс. *Доклады АН СССР*, (317(3)):635-639, 1991.
- [30] Fons Delnooz. *Energetischer Schutz*. Windpferd, 2001.
- [31] А. Виллолдо. *Шаман, Мудрец Целитель*. София, 2001.
- [32] Дмитрий Верицагин and Кирилл Титов. *Эгрегоры человеческого мира. Логика и навыки взаимодействия*. Афина, 2007.
- [33] Ч. Ледбитер. *Астральный план. Ментальный план*. Издательство: Профит Стайл, 2004.
- [34] Joachim Dautert. *Astralreisen*. Kersken - Canbaz - Verlag, 1990.
- [35] M. Denning and O. Phillips. *Astral projection*. Llewellyn Publications, St. Paul, Minnesota, USA, 2001.
- [36] Виктор Заммит. *Адвокат тонкого мира*. Крылов, 2007.
- [37] S. Sagan. *Wesenheiten - Parasiten des Energiekörpers (Entities - Parasites of the Body of Energy / Entity Possession - Freeing the Energy Body of Negative Influences)*. Clairvision School Foundation, Australia, 1994 / 1997.
- [38] В.Т.Шкатов. Исследование возможности приборной установки силового фантома на подвижную плавающую платформу. *Торсионные поля и информационные взаимодействия - 2012, материалы конференции*, pages 126-131, 2012.
- [39] А.Ю.Смирнов. Дальние нелокальные приборные взаимодействия в формировании концепции 'телепортации информации'. *Материалы II-й международной научно-практической конференции 'Торсионные поля и информационные взаимодействия'*, pages 119-149, 2010.
- [40] С.Н.Маслоброд, В.Г.Каранфил, Л.И.Кедис, and В.В.Каранфил. *Сравнительное изучение эффекта формы материального объекта и его фантома с помощью методов кирлиан и 'энерговидения'*. Материалы X Международного симпозиума Нетрадиционное растениеводство. Эниология. Экология и здоровье, 2001.
- [41] S. Kernbach and O. Kernbach. Detection of ultraweak interactions by precision dph approach (rus). *IJUS*, 9(3):17-41, 2015.
- [42] С.Н. Маслоброд, С. Кернбах, and Е.С. Маслоброд. Нелокальная связь в системе 'Цифровое отображение растительного объекта – растительный объект'. Часть 1. *Журнал Формирующихся Направлений Науки*, 4(2):26-46, 2014.
- [43] С. Кернбах. Измерение эффективности систем, работающих с 'высокопроникающим излучением'. *Журнал Формирующихся Направлений Науки*, 1(2):76-91, 2013.
- [44] А.Ю.Смирнов. Дальние нелокальные взаимодействия могут определяться торсионными возбуждениями и волнами в виртуальной плазме физического вакуума (гипотезы, концептуальный и качественный анализ). *Материалы III-й международной научно-практической конференции 'Торсионные поля и информационные взаимодействия'*, pages 173-200, 2012.
- [45] В.А.Соколова. *Первое экспериментальное подтверждение существования торсионных полей и перспективы их использования в народном хозяйстве*. Москва, 2002.
- [46] А.Е.Акимов, В.Я.Тарасенко, and С.Ю.Толмачев. Торсионная связь – новая физическая основа для систем передачи информации. *Электросвязь*, (5), 2001.
- [47] Дмитрий Верицагин. *Система дальнейшего энергоинформационного развития. I-V ступень*. Невский проспект, 2006.
- [48] Г. Бахисhev, И. Орлов, and С. Лазаренко. *Защита от пси и технотронных полевых воздействий. От мифов к реалиям*. Издательство 'АПЕКС', г. Донецк, 2004.